

九州大学工学部

正会員 井島武士

○奥歴英明

湯村やす

## 1. まえがき

著者らは、1972年<sup>1)</sup>、1973年<sup>2)</sup>において、遊水部をもつ直立消波護岸の特性について明らかにしてきたが、今回、透過堤体を二重にして護岸について理論解析、および実験と透過壁体が極端に薄い壁、となる場合につき、実験、考察を行な、たのでニニに報告する。

## 2. 解析法

図-1に示す様に、一定水深 $h$ の海底に、不透過鉛直壁があり、その前面に、遊水幅 $d_2$ 、 $d_1$ 、 $l_2$ で層厚がし、 $l_1$ の二重の透過壁があり、右方向より周波数 $\omega (=2\pi/T)$ （ $T$ は周期）の波長の長引波が入射する場合を考える。領域を

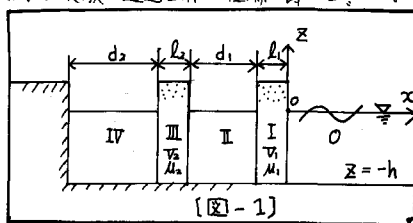


図-1の様に $0, I, II, III, IV$ と分け堤体Iの前面静水面上に原点 $0$ 、水平に $x$ 軸、鉛直上に $z$ 軸を取る。透過壁体内では、Darcyの流れを仮定し、領域 $[I]$ では空隙率、抵抗係数は $\mu_1$ 、および $\mu_2$ で、領域 $(III)$ では $\mu_2$ で $\mu_1$ 、 $\mu_2$ とし、各領域で異なる流体運動がおこる。その運動は波長が水深に比べて十分に長く、長波近似理論に従うものとすれば、水面変動と水平流速は、 $\eta(x)e^{i\omega t}$ 、および $u(x)e^{i\omega t}$ の形で表される。各領域に於ける値を、添字 $0, 1, 2, \dots$ によって区別すれば次の様になる。

(a) 領域 $(0); [x \geq 0]$

重力の加速度を $g$ とすると、長波近似理論より、連続および運動の方程式は

$$\frac{\partial \eta_0}{\partial t} = -h \frac{\partial u_0}{\partial x}, \quad \frac{\partial u_0}{\partial t} = -g \frac{\partial \eta_0}{\partial x} \quad \dots \quad (1), (2)$$

入射波と反射波の振幅を、それぞれ $a_0, b_0$ 、とする。水面変動 $\eta$ は次々様に表される。

$$\eta_0(x, t) = (a_0 e^{i\theta_0 x} + b_0 e^{-i\theta_0 x}) e^{i\omega t} \quad \dots \quad (3)$$

すると、式(2)より、水平流速 $u_0$ は次の様になる。

$$u_0(x, t) = -\frac{g \theta_0}{g} (a_0 e^{i\theta_0 x} - b_0 e^{-i\theta_0 x}) e^{i\omega t} \quad \dots \quad (4)$$

また、式(1)から、 $u_0$ は次の様に表される。

$$(b_0 h)^2 = \frac{g^2 h}{g} \quad \dots \quad (5)$$

(b) 領域 $(I); [0 \leq x \leq -l_1]$

この領域では、空隙率と抵抗があり、連続および運動の方程式は、式(1)(2)に対応して、次の様に表される。

$$\frac{\partial \eta_1}{\partial t} = -\frac{h}{\mu_1} \frac{\partial u_1}{\partial x}, \quad \frac{1}{\mu_1} \frac{\partial u_1}{\partial t} = -g \frac{\partial \eta_1}{\partial x} - \frac{\mu_1}{\mu_1} u_1 \quad \dots \quad (6), (7)$$

水面変動 $\eta_1$ を次の様におく

$$\xi_1(x, t) = (a_1 e^{i k_1 (x + l_1)} + b_1 e^{-i k_1 (x + l_1)}) e^{i \sigma t} \quad (8)$$

すると、水平流速と、音速とは、次のように表される。

$$U_1(x, t) = -\frac{g k_1}{\sigma} \beta_1 (a_1 e^{i k_1 (x + l_1)} - b_1 e^{-i k_1 (x + l_1)}) e^{i \sigma t} \quad (9)$$

$$(k_1 h)^2 = (1 - i \nu_1) \cdot \frac{g^2 h}{\sigma} = \tau' \left[ \beta_1 = \nu_1 / (1 - i \nu_1), \nu_1 = \mu_1 / \sigma \right] \quad (10)$$

(c). 領域(II);  $[-l_1 \geq x \geq -(l_1 + d_1)]$

領域(0)と同様に

$$\xi_2(x, t) = (a_2 e^{i k_2 (x + l_1 + d_1)} + b_2 e^{-i k_2 (x + l_1 + d_1)}) e^{i \sigma t} \quad (11)$$

$$U_2(x, t) = -\frac{g k_2}{\sigma} (a_2 e^{i k_2 (x + l_1 + d_1)} - b_2 e^{-i k_2 (x + l_1 + d_1)}) e^{i \sigma t} \quad (12)$$

(d). 領域(III);  $[-(l_1 + d_1) \geq x \geq -(l_1 + d_1 + l_2)]$

領域(I)と同様に

$$\xi_3(x, t) = (a_3 e^{i k_3 (x + l_1 + d_1 + l_2)} + b_3 e^{-i k_3 (x + l_1 + d_1 + l_2)}) e^{i \sigma t} \quad (13)$$

$$U_3(x, t) = -\frac{g k_3}{\sigma} \beta_3 (a_3 e^{i k_3 (x + l_1 + d_1 + l_2)} - b_3 e^{-i k_3 (x + l_1 + d_1 + l_2)}) e^{i \sigma t} \quad (14)$$

$$(k_3 h)^2 = (1 - i \nu_3) \frac{g^2 h}{\sigma} = \tau' \left[ \beta_3 = \nu_3 / (1 - i \nu_3), \nu_3 = \mu_3 / \sigma \right] \quad (15)$$

(e) 領域(IV);  $[-(l_1 + d_1 + l_2) \geq x \geq -(l_1 + d_1 + l_2 + d_2)]$

領域(0), (II)と同様に

$$\xi_4(x, t) = (a_4 e^{i k_4 (x + l_1 + d_1 + l_2 + d_2)} + b_4 e^{-i k_4 (x + l_1 + d_1 + l_2 + d_2)}) e^{i \sigma t} \quad (16)$$

$$U_4(x, t) = -\frac{g k_4}{\sigma} (a_4 e^{i k_4 (x + l_1 + d_1 + l_2 + d_2)} - b_4 e^{-i k_4 (x + l_1 + d_1 + l_2 + d_2)}) e^{i \sigma t} \quad (17)$$

(f) 境界条件

上記の各領域の運動は、境界面  $x = 0, -l_1, -(l_1 + d_1), -(l_1 + d_1 + l_2)$  で互いに連続であり、 $x = -(l_1 + d_1 + l_2 + d_2)$  では不透過壁のため、水平流速は0であるから、次の条件式が成立する。

$$x = 0 \quad \text{で} \quad \xi_1 = \xi_0, \quad U_1 = U_0 \quad (18)(19)$$

$$x = -l_1 \quad \text{で} \quad \xi_2 = \xi_1, \quad U_2 = U_1 \quad (20)$$

$$x = -(l_1 + d_1) \quad \text{で} \quad \xi_3 = \xi_2, \quad U_3 = U_2 \quad (22)$$

$$x = -(l_1 + d_1 + l_2) \quad \text{で} \quad \xi_4 = \xi_3, \quad U_4 = U_3 \quad (24)$$

$$x = -(l_1 + d_1 + l_2 + d_2) \quad \text{で} \quad U_4 = 0 \quad (26)$$

(g). 解

各領域の  $\xi_i, U_i$  を境界条件(18)～(26)に代入して解くと次のようになる。

$$\begin{cases} \xi_0 = (1 + d_1) a_1 e^{i \sqrt{\lambda_1} x} + (1 - d_1) b_1 e^{-i \sqrt{\lambda_1} x} \end{cases} \quad (27)$$

$$\begin{cases} \xi_1 = (1 - d_1) a_1 e^{i \sqrt{\lambda_1} x} + (1 + d_1) b_1 e^{-i \sqrt{\lambda_1} x} \end{cases} \quad (28)$$

$$\left\{ \begin{array}{l} 2\alpha_1 a_1 = (1 + \alpha_1) a_0 e^{i\lambda_1} + (\alpha_1 - 1) b_0 e^{-i\lambda_1} \end{array} \right. \quad \dots \quad (29)$$

$$\left\{ \begin{array}{l} 2\alpha_1 b_1 = (\alpha_1 - 1) a_0 e^{i\lambda_1} + (\alpha_1 + 1) b_0 e^{-i\lambda_1} \end{array} \right. \quad \dots \quad (30)$$

$$\left\{ \begin{array}{l} \alpha_1 = \frac{B_1 B_1}{B_0} \\ \alpha_2 = \frac{B_2 B_2}{B_0} \end{array} \right.$$

$$\left\{ \begin{array}{l} 2\alpha_2 = (\alpha_2 + 1) a_2 e^{i\lambda_2} + (1 - \alpha_2) b_2 e^{-i\lambda_2} \end{array} \right. \quad \dots \quad (31)$$

$$\left\{ \begin{array}{l} 2b_2 = (1 - \alpha_2) a_2 e^{i\lambda_2} + (1 + \alpha_2) b_2 e^{-i\lambda_2} \end{array} \right. \quad \dots \quad (32)$$

$$\left\{ \begin{array}{l} \lambda_1 = \frac{B_0 d_1}{B_1} \\ \lambda_2 = \frac{B_0 d_2}{B_2} \end{array} \right.$$

$$\left\{ \begin{array}{l} 2\alpha_3 = (1 + \alpha_3) a_3 e^{i\lambda_3} + (\alpha_3 - 1) b_3 e^{-i\lambda_3} \end{array} \right. \quad \dots \quad (33)$$

$$\left\{ \begin{array}{l} 2\alpha_3 b_3 = (\alpha_3 - 1) a_3 e^{i\lambda_3} + (\alpha_3 + 1) b_3 e^{-i\lambda_3} \end{array} \right. \quad \dots \quad (34)$$

$$\left\{ \begin{array}{l} \lambda_3 = \frac{B_1 l_1}{B_2} \\ \lambda_4 = \frac{B_2 l_2}{B_3} \end{array} \right.$$

$$a_n = b_n \quad \dots \quad (35)$$

以上、式(27)～(35)より

$a_m = C_m a_0, \quad b_m = C'_m a_0 \quad (m=0, 1, 2, 3, \dots)$   $C_m, C'_m$  は  $a_m, b_m$  に independent  $\dots$  (36), (37)

(i) 反射率

$$K_R = \left| \frac{b_0}{a_0} \right|$$

(ii) 水面変動量

$$\frac{\zeta(0)}{a_0} = \left| \frac{a_0 + b_0}{a_0} \right|$$

$$\frac{\zeta(-l_1)}{a_0} = \left| \frac{a_1 + b_1}{a_0} \right|$$

$$\frac{\zeta(-l_1 - d_1)}{a_0} = \left| \frac{a_2 + b_2}{a_0} \right|$$

$$\frac{\zeta(-l_1 - d_1 - l_2)}{a_0} = \left| \frac{a_3 + b_3}{a_0} \right|$$

$$\frac{\zeta(-l_1 - d_1 - l_2 - d_2)}{a_0} = \left| \frac{a_4 + b_4}{a_0} \right|$$

(iii) 圧力

透過堤体部(I), (III), および不透過壁上作用する水平力は次の様である。

$$\frac{P_1}{\rho g T_0 h} = \frac{1}{a_0} (a_0 + b_0 - a_0 e^{i\lambda_0 d_1} - b_0 e^{-i\lambda_0 d_1}) e^{i\omega t}$$

$$\frac{P_3}{\rho g T_0 h} = \frac{1}{a_0} (a_2 + b_2 - a_0 e^{i\lambda_0 d_2} - b_0 e^{-i\lambda_0 d_2}) e^{i\omega t}$$

$$\frac{P_4}{\rho g T_0 h} = \frac{1}{a_0} (2a_0) e^{i\omega t}$$

又、透過堤体を一体とした場合の全水平力は次の様である。

$$\frac{P_H}{\rho g T_0 h} = \frac{P_1 + P_3 + P_4}{\rho g T_0 h}$$

### 3. 実験および計算

長さ22m, 幅80cm, 高さ80cmの二次元遮波水路に於いて, 透過堤体は合板及び発泡スチロールに水平孔をあけたものを用い, 水深h=50cm,

$\phi/g = 0.50$  および  $0.75$  とし, 図-2の様な3つの型について, 反射率を抵抗式波高計を用い, Healyの方法により測定した。図-3, 図-4, は実験結果で, 透過堤体部分の薄いA-typeについては他の2つのtypeほど反射率は低下せず, 最小反射率を与える最適遊水幅Dは, 広くその値は, ほぼ波長の1/4に相当。B-typeについては直立壁に水平孔をあけた場合でも, 参考文献(2)に述べていることと, まったく同様なことが言え, 反射率も十分低い値を示している。二重透過壁を持つ護岸のC-typeでは最適遊水幅Dは, B-typeと比較して, 細く広いものの, 反射

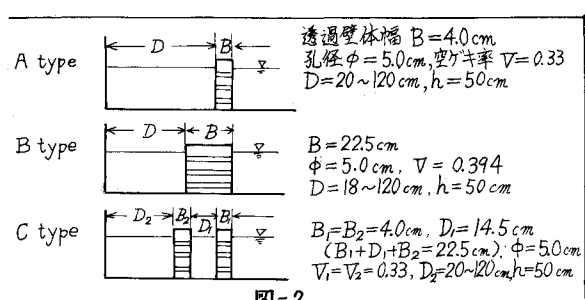


図-2

率は0.1程度まで低下し、有効な護岸といえる。

図-5は二重透過程を持った護岸の計算値である。

$\sigma R/\phi = 0.5$ ,  $R = 50\text{ cm}$ ,  $B_1/R = B_2/R$ ,  $k_R = 0.08$  の場合、二つの遊水槽口、 $D_2$ を変

化させた場合の反射率である。 $\gamma = \gamma^* \eta = \eta$ ,  $\mu_1/\delta = \mu_2/\delta = 2.5$  は、これらが

実験値にちつとも良く一致する様に決定した

仮想の空ゲキ率と抵抗係数である。 $D_1/R =$

$= 0.6$ ,  $0.9$ ,  $1.2$  の時これらの値を用いて

計算している。 $D_1$ が一定の時、反射率が最

小となる $D_2$ がそれぞれ存在するが、この最

小反射率は $D_1/R = D_2/R (= 0.9)$ の場合

最小となる。

#### 4. あとがき

以上の様に、遊水部を持つ護岸について、

透過程堤体幅 $B$ が、さほど大きると、消波効果が

非常に低下することが、確認された。又、透

過程堤体を二重にした場合、全体幅が、以前の

遊水部を持つ護岸と同じであり、ても同程度の

消波効果が期待できる事がわかった。

今後、広範囲の実験と計算を進める予定であ

る。

#### 参考文献

- (1) 井島武士, 奥薗英明, 湯村やす, 坂井久雄(1972); 游水部を持つ直立消波防波堤と護岸, 第19回海岸工学講演会論文集, 昭和47年11月,
- (2) 井島武士, 奥薗英明, 坂井久雄(1973); 2層透過程又は遊水部を持つ直立消波護岸の理論と実験, 第20回海岸工学講演会論文集, 昭和48年11月.

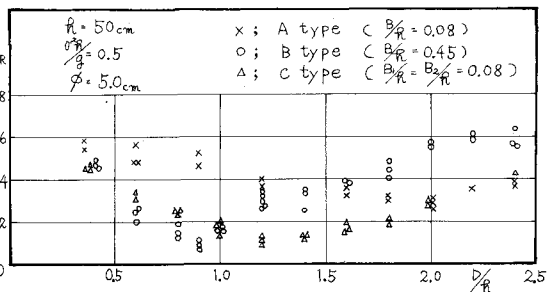


図-3

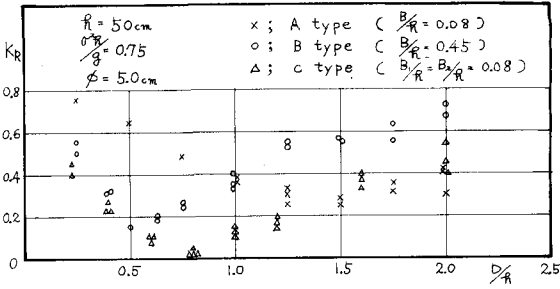


図-4

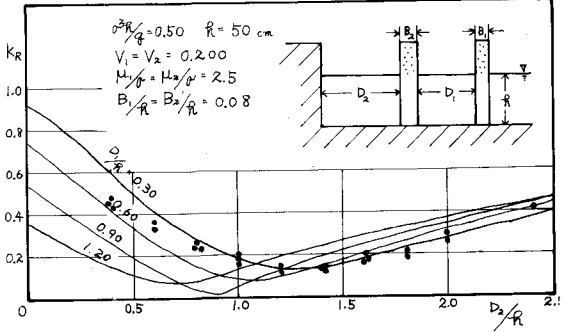


図-5